

NATH



NaH

Bq - 486-X

1874.

Troost L; Hautefeuille F

(Pdiss).

Comp. rend., 1874, 807-11

Nath

Bsp - 2036 - x

1905

de Forcrand

Comp: rend., 1905, 140
990-2.

(Kp; ΔHf)

NaH

Bp -2062 -X

1912.

Keyes F.G.

On

(DHF)

J. Amer. Chem. Soc.

1912, 34, 779 - 788.



—1

VII - 5772

1996

NaH, CdH, MnN, CrN (Ргнс.)

Жуков И.И.

Ул. Чиста физ.-хим. аспиранту АН СССР,

1996, 3, том. 1, 462-463



Б

есч q.k

NaH
426

Жукова И.И.

1927

Meyl

Муз. Кн-та груз. худ. Академии
Академии Академии СССР, 1927, 3, с. 600

Mey-58

Natt (n)  me

NaH
254.7

1929

Hagen H., Sieferts A.

Merl

Z. anorg. und allg.
Chem., 1923, 185, s. 254

Mer-77

NaH(k) Mer

Φ-B-X-3413

1930

WaH

Kasamowsky T.

Z. Physik 1930, 61, 236-8

E

Ka II Bsp - 2077 - x ~ 1931

Hori T.

(AHF)

z. Physik, ~ 1931, 71,

478-531.

NaH

1935

Hansley H.

Pat. USA, N 2 372 670,

N 2 372 671

$T_m = 698^{\circ}\text{K}$

293

425 °C

NAM (P) Boroscco A 1937

NAD Concept. rend. 1937, 205, 983

4th

Cocopea fire dissociation.

BQ - 481-X

NaH
4343

Sollers E. F., Crenshaw Y. L.
¹⁹³⁷

Megb

J. Amer. Chem. Soc.,
1937, 59, p. 2724

May-59

NaH(u)

Mf

NaD

BQ - 522-X

1939.

Hackspill L., Borocoat.

(P)

Bull. Soc. Chim. (F₂), 1939,

6, 91-103.

1939

3013

Herzberg - 9

"Molekülspektren und Molekülstruktur
1. Zweiatomige Moleküle ", Theodor
Steinkopff, Dresden, Leipzig (1939)

LiH, NaH, NaCl, KCl, KBr, KBrO₃
(g, S^O, Cp^O, Δ Hf)

J

NaH (2)

B9P-2054-X

1941

briefay J.

Comp. rend.

1941, 213, 160-2.

1947

3030

Gaydon

"Dissociation Energies and Spectra
of Diatomic Molecules",

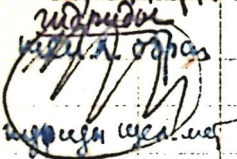
John Weley and Sons, Inc.,
New York, N.Y. (1947)

Li_2 , LiH , NaH , NaF , NaCl , NaBr , NaJ ,

K_2 , KCl , Rb_2 , RbH , Cs_2 , $\text{CsH}(g, \Delta \text{Hf}^\circ)$

M

NaH, KH, RbH, CsH BP-J-482 1949



Harold A. [Харолд]

Compt rend. 228, 686-8, 1949

Dabestan succinatum nigrum
var. acetosum

P, DFM

Dabestan succin. KH, NaH, CsH, RbH
Other ceseph. app. 245,5°-415,5°K

CA. 1950 24d

Ypres; no vegetation see RH:

$$\log p = -6175/T + 11,69$$

see Natt:

$$\log p = -6100/T + 11,66$$

see GH:

$$\log p = -5900/T + 11,70$$

see PBH:

$$\log p = -5680/T + 11,80$$

Возможна
однозначная:

$$RH = 12,980 \text{ км}$$

$$CH = 13480$$

$$Natt = 13940$$

$$KH = 14110$$

с овербэйт $\pm 1,5\%$

NaH	Sayre E.V., Beaver J.J.
NaD	J. Chem. Phys., 1950, <u>18</u> , 584
Cp	
69-81°K	Isotope Effect in the Vibrational Frequency Spectra and Specific Heats of Sodium Hydride and Deuteride.

Nah

2620

Hervéol A.

1957

~~for~~ Ann. Chim. (Fr.).
1951, 6, p. 532

Meyl

Mer-4S

Nah(Au)

Nah

BP - 6409- IV

1953

v-1935

Hs(PbO, PbSe, PbTe, SnO, SnS, FeO,
CuO, MgO, MnO, CsH, KH, LiH, NaH,
RbH, AuCl, MgS)

Sodha M.S., Varshni Y.P.

Indian J.Phys., 1953, N10, 520-22.

Patent heat of ...

Be, M

Est/F.

BP-8-450

1955

No 11

Banus D.M., McSharry J.H.

Sullivan E.O., [Банус]

JACS, 1955, 77, 2002

Phn

Acetone - непрер.

непрер - бояться.

All

известно наличие фрак-
цион. H₂ в 20% массе нын-

T_p = 940 K

непрер. температур, различий
в колич.  в т. п. граф.

X-1955-15-46326 C.I.: 1955, 12102 8

Temperature of 500 to 600 °C, gallery
804 km² cm. Alt. Nalt vymenovat no
frequency $\text{exp} P - 1/T$

$$\Delta H_{550^\circ} = 11,610 \text{ kJ/mol}, \Delta F_T^\circ = 11,610 - 12,41 \cdot T$$
$$\Delta F_{25} = +6,410 \text{ kJ/mol}, \Delta S_{25}^\circ = 15,52 \text{ J/K}$$

BP-X-42

1955

LiH,

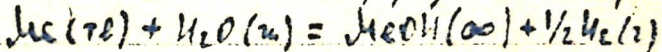
NaH

KH

BH₂

Messer Ch.E., Fassino L.G.

Thoeniger C.E.,

JACS, 1955, 77, 4524Темп. образование гидридов
лития, натрия и калияТемп. плавления, кипения
и воспламенения гидридов, 250°C

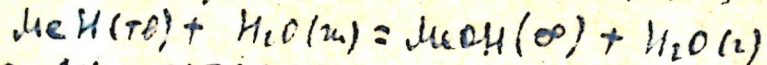
Li - 53,10 ± 0,11 ; Na - 44,23 ± 0,13

K - 47,05 ± 0,10 mm/mass.

C.A., 1955, 15434 h-13

X-56-21-67834

Tensioh negrause (∞ разведение, 25°)



LiH - $31,76 \pm 0,10$; NaH - $30,63 \pm 0,23$

KH - $31,89 \pm 0,12$ ккал/моль

LiH - $21,34 \pm 0,15$ Сравнение с
NaH - $13,60 \pm 0,27$ изопропил

KH - $15,16 \pm 0,16$

I LiH

Natt

1955

Vanhagisawa S.
etal.

4Hf

Bgp - 5246 - 1

p - 1-10.
menosia pacificensis
bogopege b
membrane

H_2 (ΔH_{aq}), LiH (ΔH_f), NaH (ΔH_f),
 KH (ΔH_f), Ca (ΔH_v), Sr (ΔH_v), Ba (ΔH_v)

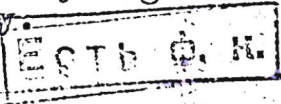
Yanagisawa S., Tsujioka A.

Proc. Fujihara Mem. Fac. Engng. Keio Univ.,
 I956, 9, N 35, 93-I02 (anu.)

The heat of solution of hydrogen in metals
 and their ionization energy.

PX, I959.

6724I



M

Natl

m.p.

25-400°C

Fuget C.R.,
Masi Y.F.

1957

Thermodynamic functions
for selected compounds.

U.S. At. Energy Comm.

CCC-1024-TR-263, 23 pp.

(1957.)

(Cu. BN) I

Бр-114-х

Ганк, Гриб.

1958

NaK

Gunn Stuart R, Green Le-
Roy G.

NaD

af. Miner. Chem. Soc., 1958,
80, N18, 4782 - 4786

акбр

Мембранные образования при
250 кристаллизующихся це-
тилов и децимитицтов и вог-
них ширококильных минералах,
настриях и камнях.

X-59-7-22461

Nah S. Lánska 1. díl. 1958

Sf. Vysoké Školy ekon.-technické

"Proz. Odd. Fak. auorgan. a.

organ. technol. 2, 1958, 495

J. H.

Писцова В.И.

1959

№ 11

Писцова Т.И., Шкрабкина И.И.

ЖК. неоправданной земли

1959, 4, № 4, 709-717

Получение О новом виде изгиба
изогиба наименьш.

97%

X-59-23-81619

1960

NaK

Дылова Т.Н., Волчекаусь А.А.
ЖМХ, 1960, 5, №10, 2153

напечатано

О науке и технике в Казахстане

NaH

12 Б241. Рентгенографическое исследование NaN и
КН при температуре от 20 до 400° С. Кузнецов
В. Г., Шкрабкина М. М. «Ж. структур. химии»,
1962, 3, № 5, 553—558

1962

Проведено рентгенографич. (метод порошка, камера диам. 86 мм, $\lambda_{\text{Cu}-K}$) исследование NaN (I) и КН (II) в интервале 20—400° с целью нахождения возможных полиморфных модификаций или субгидридов и определения в интервале этих т-р коэф. термич. расширения и плотности, представляющих интерес при объяснении процесса гидрирования щел. металлов. Оба продукта получены гидрированием щел. металла под давл. H_2 до 5 атм. Установлено, что гранецентр. куб. решетка сохраняется при всех исследованных т-рах, полиморфные модификации не образуются. С возрастанием т-ры периоды ячейки I и II возрастают почти по линейному закону, причем период I растёт быстрее, чем период II. Коэф. термич. расширения в интервале 20—400° составляют: I $64 \cdot 10^{-6}$ и II $38,9 \cdot 10^{-6}$. Высказано предположение, что большое различие в коэф. термич. расширения II и К является одной из причин более легкого гидрирования К по сравнению с Na.

Л. Ерман

*Tер
Крис.
Сурков*

X·1963·12

(N.II)
(K.H.)

1962

Михеева В.И., Акрабкина

Р.Р.

Докл. Акад. СССР, 143, № 6, 1362.

О некоторых расстояниях
изогибов конуреса и
калиса в их геологии
Сибири.

I K.H.

Naff

Волек А.Д.

1962

Чече. Руги. Чура.

Алб ССР. 1962, 5, №, 835

Pachites шершавоизогну-
щих свойств бесцвет.



1963

NaH

КН

13 Б487. О твердых растворах в системах NaOH — NaN и KOH — KH . Михеева В. И., Шкрабкина М. М. «Ж. неорг. химии», 1962, 7, № 10, 2411—2418
 Методами термостатии и рентгеноовского фазового анализа изучены системы $\text{NaOH} — \text{NaN}$ (до 60% NaN) и $\text{KOH} — \text{KH}$ (до 48% KH). Равновесие в обеих системах можно описать перитектической диаграммой с ограниченной областью образования твердых растворов на основе гидратов окисей. Область однородности при комнатной температуре простирается в системе $\text{NaOH} — \text{NaN}$ до 18%, а в системе $\text{KOH} — \text{KH}$ до 14% KH. С повышением температуры область однородности расширяется. При растворении гидридов в гидроокисях термическая устойчивость их значительно повышается, благодаря чему температурная область применения гидридов Na и K расширяется до $500 — 550^\circ$.
 Резюме авторов

Х-1963-13

Нан

В.92 - 2 - X

1964

16 Б528. Термическая диссоциация гидрида натрия.
Addison C. C., Pulham R. J., Roy R. J. The thermal dissociation of sodium hydride. «J. Chem. Soc.», 1964, Dec., 4895—4901 (англ.)

Равновесные давления H_2 при диссоциации D NaH определены в области т-р 100—315°. Результаты соответствуют ур-нию $\lg p$ (мм рт. ст.) = $11,66 - 6100/T$ и величине $\Delta H = -13,94$ ккал/моль, найденным для более высоких т-р. Показано, что при данной т-ре давление D фактически не меняется над двухфазной ($\text{NaH}-\text{Na}$) областью плато. При нагревании чистого гидрида натрия D идет до тех пор, пока разложение не достигает области плато. При т-рах 100—150° измерены скорости D , соответствующие прямой р-ции $\text{NaH} \rightarrow \text{Na} + \frac{1}{2}\text{H}_2$; из них рассчитаны величины энергии активации 24,9 и 11,0 ккал/моль соответственно для прямой и обратной реакций.

Резюме авторов

Р. Н₂

ΔРН

Х. 1965. 16

NaH

B9-2-X

1964

The thermal dissociation of sodium hydride. C. C. Addison,
R. J. Pulham, and R. J. Roy (Univ. Nottingham, Engl.).
J. Chem. Soc. 1964(Dec.), 4895-901(Eng). Equil. dissocn.
pressures of H over NaH were detd. for the temp. range 100-315°.
The results support the relation $\log_{10} p_{(mm)} = 11.66 - 6100/T$
and the value of $\Delta H = -13.94$ kcal./mole which apply at higher
temps. At any given temp., the dissocn. pressures are virtually
unchanged over the 2-phase (NaH-Na) "plateau" region.
When pure NaH is heated, dissocn. proceeds until the compn.
reaches the plateau range. At temps. in the range 100-50°,
dissocn. rates corresponding to the forward reaction $\text{NaH} \rightarrow$
 $\text{Na} + \frac{1}{2}\text{H}_2$ were measured; they lead to values of 24.9 and 11.0
kcal./mole for the activation energies of the forward and back
reactions, resp.

RCJR

P
ΔHf
C.A. 1965-62-4
3644e

1965

NaH (kp.)YANAF

(monokristallin. glass)

T. g.

100-1500°K

Td = 700°K

1965

Dissociation pressure of hydrides. I. P. Knigavko and V. G. Karpenko. *Khim. Prom., Inform. Nauk.-Tekhn. Zb.* 1965(1), 29-30(Ukraine). Dissocn. pressure was detd. in a 160-mm. high stainless steel reactor, with a 6-mm. inner diam. The reactor was connected to a vacuum pump and a U-shaped manometer; the hydride was poured into a 40-mm. high, 5-mm. diam. Ni cylinder. The reactor with a thermocouple was heated in an elec. furnace with a Cu thermoblock. The thermocouple recording was made by an electronic potentiometer. The specimen was heated to the required temp., and kept until equil. in the system was established, then the temp. was raised again. Measurements were made at 50° intervals up to 300°, and at 20 to 30° intervals at higher temps. The dissocn. pressure of NaH in NaOH was detd. in the concn. interval from 3 to 95% mol., between 50 and 480°. Up to 400-415°, there is a small increase of the dissocn. pressure for compds. contg. up to 30% mol. NaH. The pressure drops rapidly for compds. contg. 30 to 43% NaH. Increased concn. increases the dissocn. pressure: the max. is reached at 55% concn. of NaH, and drops at 80%. Above 415°, increasing the content of NaH has little effect upon the dissocn. pressure up to 43% concn. After 43% concn., there is a violent dissocn. and the pressure increases by approx. a factor of 2.

NaH

BDV

PH₂

ΔfH

C.A. 1965

63.3

2410 et

GCIW

$\bar{x} = 5904$ 1966
Li H, Na H, K H, Rb H (Δ H)

Froeyland K., Foerland T.,
Lundberg N., Ostvold T.,
Selected Topics High Temp. Chem.,
1966, 24 - 33

B

CA, 1966, 65, NY, 9832c

NaH

2525

Gunn S.R.

1967

J. Phys. Chem.,

1967, H, p. 1386

Hepp

Key - 44

NaH(u)

Alf

1968

NaH

12 В4. Получение гидрида натрия. Kantak U. N.,
 Sen D. N. Preparation of sodium hydride. «Res. and
 Ind.», 1968, 13, № 2, 63—65 (англ.)

Взаимодействием измельченного металлич. Na с H_2 в очищенном керосине или вазелиновом масле в автоклаве при $150-60^\circ$, 20—30 атм в течение нескольких час. получен NaH (I). Показано, что выход I колеблется от 88,5 до 99% в зависимости от продолжительности р-ции и среды. Взаимодействием I с Mg_3B получен $NaBH_4$ (II). Выход II 80%, чистота II 75%. Обменной р-цией II и Mg_3B с KOH получен KBH_4 (III). Выход III 50%, чистота III 95%.

М. Б. Варфоломеев

Получен

Х. 1969. 12

1968

NaH

~~NaH~~

Pnq
~~Antimony~~

Kp

308384 — Measurement of activation energy by determining the intensity of a molecular beam. Dissociation of sodium hydride. Venien, Jean Pierre (Fac. Sci., Nantes, Fr.). *C. R. Acad. Sci., Paris, Ser. C* 1968, 266(17), 1247-9 (Fr.). When heated to 250-300° under a H atm., at 1 atm. pressure, liq. Na dissolves a certain quantity of H. The activation energy was detd. for the decompn. of the compd. thus obtained. The compd. is placed in an oven provided with a rectangular aperture. The whole is contained in an enclosure at 10^{-8} torr. In front of the aperture, there is a quadrupole gas analyzer regulated at a mass of 2, which measures the quantity of H escaping from the oven. For each temp., at equil., the no. of mols. escaping from the oven equals the no. of mols. produced by decompn. If the quantity of the product decomposed during the expt. is small, the rate of reaction is proportional to the rate const. The temp. of the

C. A. 1968.

69.8

oven is raised to 250°, and is then allowed to cool at such a slow rate that gaseous equil. is always attained in the inside of the oven. And as the rate of decompn. decreases with temp., it was supposed that the quantity of nondecompd. product is const. during cooling. The values of the energy of activation obtained from 4 expts. are 19.5, 21.8, 23, and 24 kcal./mole. These values indicate that the activation energy increases with the degree of progress of the reaction. These values are compared with 24.9 kcal./mole (cf. C. C. Addison, *et al.*, 1964). Apparently the action of H on liq. Na leads, in addn. to the hydride, to undefined compds. for which the conditions of decompn. are not const.

A. Aboul-Seoud

NaH
(Crystal)

100-1500°K

(1963)

YANAI
Iwao

1981

30511.1381
Ch, TE

Na^+/H^+ (AS)
(AS)
(14°) 34406

1972

Deoki Nandan Gupta A.R., Shankar J.

Heats of Li^+/H^+ , Na^+/H and K^+/H^+

exchange systems on dowex 50W X 8 resin
in methanol-water media.

"Indian J. Chem.", 1972, 10, N 12, 1172-1178

1178 (англ.)

0869 РИК

858 860

ВИНИТИ

1872

Nak

Gp, 6-350K

Westrum E.F., Jr., et al

DTT, N15, cmp. 42.

NaH

1973

Bardin T, et al.

V. I; p. 575

228-700 (me)

Coll. offg F-T

595
Natt

Донкова Т.Н., Бакуумж С.И.,
Мирсаидов У.
1974

Мегл

Док. Академия СССР, 1974
21б, с. 87

Мег-57



Natt (k)

B~~X~~-579

1974

No₃N, Natl (K₂, SH, SG)

Кондратьев А.В., Бересов Г.М., Родионов
А.

Денежные гот. 1974, БИШУРІ
2650-74, 11смр.

и

Термоусад. схема антибактериал
антибиотик - регулятор темп.

NaH, Fe₂O₃, FeO, TiO₂, TiD, Nd, C₂O₃,
FeO·C₂O₃ (ΔG)

1974

X-9514

Шихов Б.Я, Бабченко В.А, Карпенко В.Г,
Пр. Н.-И. и проект. ин-т основ. химии, 1974,

36, 53-56

К вопросу о взаимодействии оксидов
железа, никеля, хрома и титана с гидридов
ионий.

РНХУСИ, 1975

1151017

Ж, 5 Ⓢ

10

~~NaH~~

1974

Tobola K.A.

međunar.
pagini.

"Thermal Anal. Proc.
"4th Int Conf Thermal
Anal., Budapest 1974,
Vol '3' Budapest,
1975, 735-42 (adat)

(eu NaHCO_3 ; I)

LiH, NaH (T. g. фуникүй) 1975
X-9270
Торбөг С.И., Гурвигч А.Б.,
Норинч В.С., ~~Юнгелесе~~ В.С.,
Монголийн өвлийн төмөнгийн багамт,
1975, 13(3), 503-10.

Расчет термодинамических
функций изотермических звукометри-
ческих газов...
С.А. 1975, 83 № 16. 1379212

10

Na H

1975

слажаев В. А.

гавиовские

Na-H-O

(физ.-энерг. ин-т ФЭИ-
612) Обнинск 1975. 31 с,
ил. 13 к. - На фотопри-
ме.

(есл. NaOH; I)

5 Б815. Давление диссоциации расплавленных стехиометрических гидридов щелочных металлов. Скуратов О. А., Павлов О. Н., Данилкин В. И., Волков И. В. «Ж. неорган. химии», 1976, 21, № 11, 2910—2913

1976

Описана методика синтеза гидридов щел. металлов МН (I) $M=Na, K, Rb, Cs$ прямым гидрированием расплавов металлов. Методом ДТА по кривым нагревания при равновесном давл. H_2 определены т-ры плавления ($\pm 2^\circ$) I, равные для $M=Na, K, Rb, Cs$ соотв. 911, 892, 858, 801 К и соотв-щие энталпии плавления 6,18; 5,09; 5,29; 3,55-ккал/моль. При давл. водорода над I, превышающих равновесное на 100 ата, наблюдалось увеличение т-р плавления I для $M=Na, K, Rb, Cs$ соотв. на $1,8 \pm 0,2^\circ$; $2,2 \pm 0,2^\circ$; $2,0 \pm 0,2^\circ$; $2,4 \pm 0,2^\circ$. В автоклаве высокого давл. определены зависимости от т-ры равновесных давл. диссоциации над гидридами I стехиометрич. состава в интервале т-р 936—1032 К (NaN), 932—1015 К (KH), 870—937 К (RbH), 813—969 К (CsH). Полученные давл. соответствуют р-ции MH (жидк.) = M (жидк.) + $1/2 H_2$. Ур-ния зависимости летучестей f от т-ры имеют вид для $M=Na, K, Rb, Cs$ соотв. $lg f$ (бар) = $-3400/T + 5,772$; $-3950/T + 6,262$; $-3370/T + 6,110$; $-4350/T + 6,930$.

М. В. Коробов

NaN

KH

RbH

CsH

($T_m, \Delta H_m$)

43

17

X 1977 N 5

Они же такие есть
у Бермана!

СТД
го по
NaCl

~~ст~~, Скуратов О.А., Павлов О.Н., 1976

Watt
Дашичкин В.И., Волков И.В.

КН
ЖМХ, 1976, 21, №11, 2910-2913

Р&Н
CSH
Добавление диспергирующих распыл-
ленных стехиометрических гидридов
щелочных металлов

$(T_m, \Delta H_m)$



Бюл 210 В X

1976

NaH

KH

RbH

CsH

ΔH_{fus} , ΔS

86: 79738d Dissociation pressure of molten stoichiometric alkali metal hydrides. Skuratov, O. A.; Pavlov, O. N.; Danilkin, V. I.; Volkov, I. V. (Gos. Inst. 'Prikl. Khim.', Leningrad, USSR). *Zh. Neorg. Khim.* 1976, 21(11), 2910-13 (Russ.). M. points of Na, K, Rb, and Cs hydrides (MH) were measured by detg. freezing curve, at equil. pressure of H. Enthalpies and entropies of melting were calcd. The dissociation pressures of molten stoichiometric MH were detd. also.

(T_m , ΔH_m , ΔS)

⑦3

17

C.A. 1977.86N12

1978

NaH

Na₂C₂Na₂O

LiH)

LiD)

(ΔH sol. f wed. air)

(43)

C.A. 1978, 89, 116

Naff

Ommexech 10003 | 1979
Ommexech 9514 |

Querjunk B.H. 49.

(5⁰
298)

Ryk. gen. Duleek.

Den. N2891.-49

Nati
Nad (TB)

Lommeluck 12200 | 1981.

Hasan M. et al.

M. g. eb-ka
(prez. noot.)

Indian J. Pure and
Appl. Phys., 1981, 19
584 - 86.

NaH(kpucr.)

Lommel 11197 | 1981.

Do; Ae

Ttr; cut.noer.
dinear. face.

Pandey J.D.; et al.

Z. phys. Chem. Leipzig,
1981, 262, 101-106.

(8I)

NaH

1982

197: 99201d Liquid mixtures of sodium and sodium hydride at high pressures and temperatures. Klostermeier, W.; Franck, E. U. (Inst. Phys. Chem. Elektrochem., Univ. Karlsruhe, D-7500 Karlsruhe, Fed. Rep. Ger.). *Ber. Bunsenges. Phys. Chem.* 1982, 86(7), 606-12 (Eng). The H pressure in equil. with liq. phases of the system Na-NaH was measured at 650-900° and pressures to 900 bar. A detailed description of the app. is given. At 900° and 650 bar, the max. solv. of NaH in liq. Na is 19 mol%. Sieverts' law is closely obeyed to 5% NaH. Sodium solv. in the liq. NaH is <2%. The m.p. of NaH is 632° at 106 bar, and heat and entropy of fusion are 26.2 ± 0.7 kJ/mol and 29.0 ± 0.8 J/mol.K, resp. The heat of soln. of liq. NaH in liq. Na is 27.4 kJ/mol. Equations and data for solv., activity coeffs. etc. of NaH are given. The crit. soln. point for Na and NaH is estd. to be at 1500 ± 70 K, 2500 ± 600 bar and mole fraction (NaH) = 0.65 ± 0.05 .

T_m, Δ_mH_f

ΔmS;

C.A. 1982, 97, N 12

NaI

1982

| 98: 96651k Peculiar properties of sodium iodide in alcohols,
acetone, and alcohol-water mixtures at lower temperatures.
Krestov, G. A.; Kolker, A. M.; Korolev, V. P. (Inst. Chem.
Non-Aqueous Solut., Ivanovo, USSR). *J. Solution Chem.* 1982,
11(9), 593-610 (Eng). The enthalpies of soln. of NaI [7681-82-5] in
MeOH, EtOH and acetone and in mixts. of MeOH and EtOH with
water were measured over wide ranges of electrolyte concn. and
temp. Std. enthalpies of soln., transfer enthalpies of NaI from alc.
to alc.-water mixts., and temp. coeffs. of enthalpies of soln. were
calcd. Thermodn. characteristics of soln. and solvation of the Na^+
and I^- ions in acetone and ethanol were detd. at 243-298 K. At lower
temps., the disruption of solvent structure by ions is a local effect.
The presence of neg. solvation of the Na^+ and I^- ions in alc.-water
mixts. at lower temps. is demonstrated.

(Solv.)

C. A. 1983, 98, N 12.

Na H

1982

Орехова С.Е., Тюльпанов В.П. и др.

ΔH_f ; рис и хим. термодинам.,
 S_{298} Тюльпанов, 14-16 сеню., 1982. Рас-
ширен. мез. горяч., Тюльпанов,
1982, 320- 322.

(сост. $Na_3 AlH_6$; ?)

Nall

1983

21 В3. Гидрид натрия (NaH). «Юки госэй кагаку кёкайси, J. Synth. Org. Chem., Jap.», 1983, 41, № 2, 190—191 (яп.)

X. 1983, 19, № 21

Nach

1985

) 24 Б3225. Рентгенографическое исследование при высоком давлении щелочных гидридов NaH, KH, RbH и CsH. High pressure X-ray investigation of the alkali hydrides NaH, KH, RbH and CsH. Hochheimer H.D., Strössner K., Höngle W., Bagrowski B., Filipek F. «J. Less-Common Metals», 1985, 107, № 2, L13—L14 (англ.)

(43) Т₂

При комн. т-ре методом рентгенографии при высоком давл. исследованы фазовые диаграммы гидридов щел. металлов, полученных прямым синтезом. KH при давл. 4,0 ГПа с изменением объема $\Delta V = 13,4\%$ испытывает фазовый переход из структуры типа NaCl в фазу со структурой типа CsCl. У RbH такой переход наблюдается в интервале давл. 2,2—3,1 ГПа ($\Delta V = 11,7\%$), у CsH при 1,2 ГПа ($\Delta V = 8,4\%$). В. А. Ступников

(73)

X.1985, 19, N24

Naff

1985

14 Б3121. Рентгенографическое исследование при высоком давлении гидридов щелочных металлов NaH, KH, RbH и CsH. High pressure X-ray investigation of the alkali hydrides NaH, KH, RbH, and CsH. Hochheimer H. D., Strössner K., Höngle W., Bagrowski B., Filipek F. «Z. phys Chem.» (BRD), 1985, 143, 139—144 (англ.; рез. нем.).

Изучен переход из СТ NaCl в СТ CsCl при давл. до 28 ГПа (алмазные наковальни, рубиновая шкала давл., энергодисперсионная регистрация отраженного рентгеновского излучения) в порошках гидридов NaH, KH, RbH, CsH. Переход наблюдался в KH при 4, CsH при 1,2, RbH при 2,2—3,1 ГПа, ($\Delta V/V$ 13,4; 8,4; 11,7% соотв.), в NaH переход не обнаружен. Из ур-ния Берча получены величины объемных модулей B_0 и их пр-ных по давл. B_0' для обоих СТ всех соединений. Отмечено уменьшение давл. перехода с увеличением ионного радиуса металла.

С. С. Мешалкин

(43)



X. 1986, 19, N 14

Nati

1985

8 E715. Рентгенографические исследования щелочных гидридов NaH, KH, RbH и CsH при высоких давлениях.
High pressure X-ray investigation of the alkali hydrides NaH, KH, RbH, and CsH. Hochheimer H. D., Strössner K., Höngle W., Bagrowski B., Filipek F. «Z. Phys. Chem.» (BRD), 1985, 143, 139—144 (англ.)

На установке высокого давления с алмазными наковальнями в диапазоне до 28 ГПа энергодисперсионным рентгеновским анализом изучено поведение гидридов щелочных металлов. Показано, что при 1,2 ГПа для CsH и 4,0 ГПа для KH происходит переход от структуры типа NaCl к структуре типа CsCl. Для RbH область существования двух фаз расположена в интервале 2,2—3,1 ГПа. Для NaH перехода не обнаружено. Приведено ур-ние состояния Бирча и определены модули объемной сжимаемости: для NaH $B_0 = 14,3 \pm 1,5$ (тип NaCl), для KH $B_0 = 15,6 \pm 1,5$ (тип NaCl) и $B_0 = 28,5 \pm 1,5$ (тип CsCl), для RbH $B_0 = 10,0 \pm 1,0$ (тип NaCl) и $B_0 = 18,4 \pm 1,1$ (тип CsCl), для CsH $B_0 = 7,6 \pm 0,8$ (тип NaCl) и $B_0 = 22,3 \pm 1,5$ (тип CsCl).

Pt2,

(43) ~~18~~

cf. 1986, 18, N8

Е. С. Алексеев

Natl

[Om. 22042]

1985

$\Delta_f H$
(pacrem)

Pople J. A., Yiuke B. T.,
Frisch M. J., et al.,
Z. Phys. Chem., 1985, 89,
N II, 2198-2203.

Naff

(DM. 24571)

1986

Srivastava G. M. S.,
Agrawal G. G., et al.

Cp, ypsab-
nemee
cosmogr.,
pacriemai.

Phys. Status Solidi
1986, B 135, N 2,
529 - 534.

NaH

1987

№ 7 Е780. Изучение NaH при давлениях до 54 ГПа.
High-pressure studies of NaH to 54 GPa. Duclos Steven J., Vohra Yogesh K., Ruoff Arthur L., Filipek S., Bagapowski B. «Phys. Rev. B: Condens. Matter», 1987, 36, № 14, 7664—7667 (англ.)

Исследовано фазовое поведение NaH при высоких давлениях и коми. т-ре. Опыты проводились в ячейке с алмазными наковальнями энергодисперсионным рентгенодифракционным методом с использованием синхротронного излучения. При давлении $P_T = 29,3 \pm 0,9$ ГПа обнаружен фазовый переход NaH из структуры типа $B1$ (решетка NaCl) в $B2$ (CsCl). В фазе $B1$ изотермический объемный модуль $B_0 = 19,4 \pm 2,0$ ГПа, а его производная по давлению B'_0 составляет $4,4 \pm 0,5$. Объемное изменение при переходе $B1 \rightarrow B2$ $0,61 \pm 0,1$. Сопоставление этих результатов с полученными ранее данными для KH, RbH и CsH указывают на сильную зависимость P_T от типа катиона, подобно тому, что установлено для галогенидов щелочных металлов. Меньшая величина B_0 для гидридов по сравнению с галогенидами объясняется неполным переносом заряда в этих частично ионных соединениях.

А. И. Коломийцев

Пт;

φ 1988, 18, № 7

NaH 1987

Кропицкий В.А., Фукс Д.Н.

Физ. и мехн. свойст.

T_{tz} ; Давление (Киев), 1987,
№26, 14-18.

(cel. LiH; T)

Nall

Out. 27709)

1987

Nad
Nad. Rahman S., Hasan M.N.

J. Indian Chem. Soc., 1987,
64, N.3, 163-168.

Lattice Properties of Alkali
Hydrides and Deuterides

using Interaction Potentials,

Nath (OM-28574) 1987

Tiwari V.P., Tiwari et. al.,
Rai M.K., et al.,

Indian J. Pure and Appl.
Phys., 1987, 25, N2,
66-71.

№ 44

1988

Байданов А., Мурсалеев Ю. и др.,

Первые характеристики
старых и новых
сериии некоторых генетических
полиморфизмов.

K_p, ΔH_f

XII Всесоюзная конференция
по химии греческой термохими-
кической и калориметрии,

месяца с начала борьбы с вредителями,

г. Тюмень, сентябрь 1988 г.

Nah

Om. 31282/

1988

Rahman A., Hasan M. M.,

Coll. Noem.,

UK,
Damow.,

θ_0^o , θ_B

(meop. pacem)

Indian J. Pure and Appl.
Phys. 1988, 26, n^o 6, 400-
-404.

Nah

[om. 31282]

1988

Rahman A., Hasan M.U.,

Cur. Noem., Indian J. Pure and Appl.
UK, Phys. 1988, 26, N6, 400-
Jainali, -404.
 θ^o , θ_A
(meas. param)

Nak

1990

10 E519. Структурный фазовый переход в NaN и LiH при высоких давлениях. Structural phase transition of NaN and LiH under high pressure / Li Guangwei, Wang Dingsheng, Jin Qinghua, Ding Datong // Phys. Lett. A.— 1990.— 143, № 9.— С. 473—476.— Англ.

Самосогласованным методом присоединенных сферич. волн рассчитана зонная структура NaN и LiH при давл. до 100 ГПа и 1,5 ТПа соответственно. Вычислен переход $B1 \rightarrow B2$ в NaN при давл. 37 ГПа (эксперим. значение 28—32 ГПа при $T=300$ К). Предсказан переход $B1 \rightarrow B2$ при 0,66 ТПа в LiH. Показано, что сжимаемость фазы $B2$ в LiH при всех рассчитанных давлениях меньше сжимаемости фазы $B1$. Е. С. Алексеев

(1)

φ. 1990, N10

NaH

1990

18 Б3177. Структурный фазовый переход в NaH и LiH при высоком давлении. Structural phase transition of NaH and LiH under high pressure / Li G., Wang D., Jin Q., Ding D. // Phys. Lett. A.— 1990.— 143, № 9.— С. 473—476.— Англ.

Методом самосогласованного вычисления зонной структуры в рамках сферич. волновой модели исследовано фазовое поведение NaH и LiH до давл. 100 ГПа и 1,5 ТПа соотв. Модель включает скалярный релятивистский эффект и использует скоррелированный обменный ПТ. Переход из фазы B_1 в фазу B_2 в NaH предсказывается при 37 ГПа с изменением объема на 10%, а экспериментально (лит. данные) он наблюдается при 28—32 ГПа при 300 К. Аналогичный переход предсказывается для LiH при давл. 0,66 ТПа с изменением объема на 10%. Подобно NaH, в LiH также должны происходить переносы электронов от щел. металла к гидридной сфере. Определены объемные модули B_0 и их барич. производные.

Резюме

X. 1990, N 18

(*H*)
N

NaH

1990

Martins José Luis.

Phys. Rev. B. 1990. 41, N 11.

T_{t_2}

C. 7883 - 7886.

(ccu.  RH; I)

Nak

1990

MgMg
cb-fa

113: 121595h The H-Na (hydrogen-sodium) system. San-Martin,
A.; Manchester, F. D. (Cent. Met. Hydride Stud., Univ. Toronto,
Toronto, ON Can. M5S 1A7). *Bull. Alloy Phase Diagrams* 1990,
11(3), 287-94 (Eng). The temp.-comprn. diagram of the Na-H
system consists of the following phases: β Na, the pure bcc form;
NaH, with nominal stoichiometry and fcc structure and liq. Na
contg. absorbed H. Crystal structure and lattice parameters for the
Na-H system are given. For the phase NaH, heat of formation,
enthalpy and entropy of fusion, and molar heat capacities are
tabulated.

C.A. 1990, 113, N 14

NaM

1991

Jenc F., Brandt B.A.

No

Spectrochim. Acta, Part
A 1991, 47A(1), 141-8.

(cel. LiH; II)

Nak

(OM. 41090)

2001

Beum N. et al.,

J. Chem. Phys., 2001,
115, N 13, 5984. . .

Interaction potentials
of LiH, NaH, KH,  RbH, and
CsH

NaH

1999

(T_{tr} при
высоком
давл.)

F: NaH (T_{tr} при высоких давл.)
P: 1

02.01-19Б3.60. Теоретическое исследование фаз высокого давления со структ типа CrB в LiH, NaH, KN и RbH. Theoretical search for the CrB-type high-pressure phase in LiH, NaH, KN and RbH / Ahuja R., Eriksson O., Joha B. // Physica. B. - 1999. - 265, N 1-4. - С. 87-91. - Англ.

С помощью самосогласованного расчета полной энергии из первых, принципов приближении локальной плотности с использованием FPLMTO-метода исследовал LiH, NaH, KN и RbH в условиях высокого сжатия. Расчеты предсказывают стру типа CrB только для фаз высокого давления RbH и KN. Библ. 16.